

# Стабильность краевых состояний в топологических изоляторах

Евгений Аникин  
научный руководитель  
чл.-к. РАН д. ф-м. н. П.И. Арсеев

ФИАН им. Лебедева

# Двумерный топологический изолятор на основе HgTe

В квантовой яме образуются уровни размерного квантования. При  $d < d_c$  спектр ямы нормальный, при  $d > d_c$  — инвертированный.

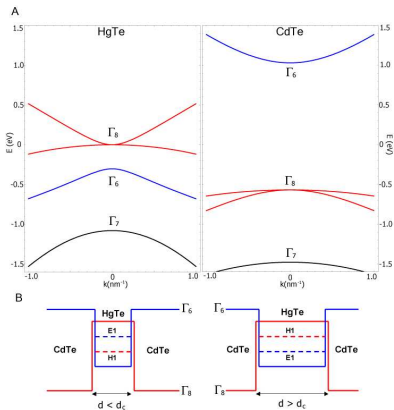


Рис.: Объемный спектр HgTe и CdTe и схематическое изображение квантовой ямы

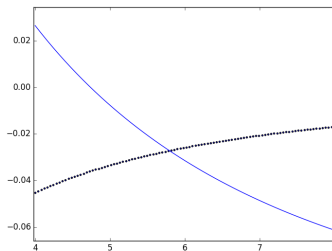


Рис.: Уровни размерного квантования

$$H = \begin{pmatrix} E_c + \frac{\hbar^2 k^2}{2m_s} E_{2 \times 2} & T \\ T^\dagger & E_v + H_L \end{pmatrix} \quad (1)$$

$$H_L = -\frac{\hbar^2}{2m_0} \left[ \left( \gamma_1 + \frac{5}{2} \gamma_2 \right) k^2 - 2\gamma_2 (\vec{k} \cdot \vec{J})^2 - \right. \\ \left. - 2(\gamma_3 - \gamma_2) (\{J_x J_y\} + \{J_x J_z\} + \{J_y J_z\}) \right]$$

$$T = P \begin{pmatrix} -\frac{1}{\sqrt{2}} k_+ & \sqrt{\frac{2}{3}} k_z & \frac{1}{\sqrt{6}} k_- & 0 \\ 0 & -\frac{1}{\sqrt{6}} k_+ & \sqrt{\frac{2}{3}} k_z & \frac{1}{\sqrt{2}} k_- \end{pmatrix}$$

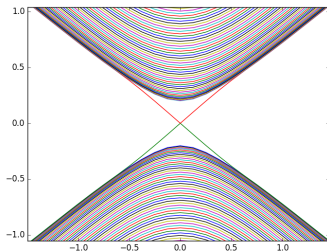
# Эффективный гамильтониан для уровней размерного квантования

Эффективный гамильтониан для E1, N1 подуровней квантовой ямы HgTe:

$$H = \begin{pmatrix} \xi + \frac{1}{m}(2 - \cos p_x - \cos p_y) & 2t(\sin p_x - i \sin p_y) \\ 2t(\sin p_x + i \sin p_y) & -\xi - \frac{1}{m}(2 - \cos p_x - \cos p_y) \end{pmatrix} \quad (2)$$

Описывает топологический изолятор при  $\xi < 0$

$$\begin{aligned} H_{\text{lattice}} = \sum_{mn} \left\{ a_{mn}^{\dagger} \left( \left( \xi + \frac{2}{m} \right) a_{mn} \right. \right. \\ \left. - \frac{1}{2m} (a_{m+1,n} + a_{m-1,n} + a_{m,n+1} + a_{m,n-1}) \right) \\ - ita_{mn}^{\dagger} (b_{m+1,n} - b_{m-1,n} - i(b_{m,n+1} - b_{m,n-1})) \\ - itb_{mn}^{\dagger} (a_{m+1,n} - a_{m-1,n} + i(a_{m,n+1} - a_{m,n-1})) \\ \left. - b_{mn}^{\dagger} \left( \left( \xi + \frac{2}{m} \right) b_{mn} - \frac{1}{2m} (b_{m+1,n} + b_{m-1,n} + b_{m,n+1} + b_{m,n-1}) \right) \right\} \end{aligned} \quad (3)$$



**Рис.:** Спектр полосы ТИ:  
результат численной  
диагонализации

На границе топологического изолятора образуются моды, пересекающие щель. Их закон дисперсии —  $\epsilon \approx \pm vk$  для двух проекций спина.

$T$ -инвариантное возмущение не может привести к рассеянию краевых электронов назад. Какие могут быть механизмы для рассеяния?

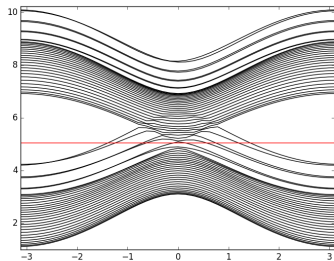


Рис.: Спин вниз

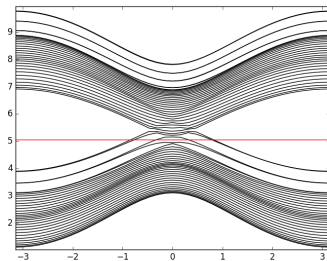


Рис.: Спин вверх

$$V = \Delta E (a_{00}^\dagger a_{00} + b_{00}^\dagger b_{00}) \quad (4)$$

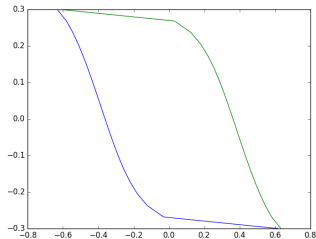
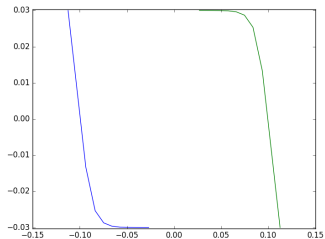
Уравнение на уровень энергии:

$$\det \left( \mathbb{1} - \Delta E \hat{G}(\omega, 0, 0) \right) = 1, \quad (5)$$

$$\hat{G}(\omega, m, n) = \int \frac{d^2 p}{(2\pi)^2} e^{ip_x m + ip_y n} \frac{\omega + \hat{H}}{\omega^2 - E_p^2}, \quad (6)$$



# Уровни энергии на примеси



**Рис.:** На графиках показаны уровни энергии связанных состояний на точечной примеси для  $m, t = 1, 0.4$ ,  $\xi = 0.03$  (слева),  $\xi = 0.3$  (справа)

$$\begin{aligned} G_{11}(\omega, m, n) &= -\frac{1}{2\pi} \frac{1}{4t^2 + \frac{\xi}{m}} \left( \omega + \xi - \frac{1}{m} \frac{\xi^2 - \omega^2}{4t^2 + \frac{\xi}{m}} \right) K_0 \left( \sqrt{\frac{\xi^2 - \omega^2}{4t^2 + \frac{\xi}{m}}} R \right) \\ G_{21}(\omega, m, n) &= -\frac{it}{\pi} \sqrt{\frac{\xi^2 - \omega^2}{(4t^2 + \frac{\xi}{m})^3}} K_1 \left( \sqrt{\frac{\xi^2 - \omega^2}{4t^2 + \frac{\xi}{m}}} R \right) e^{i\theta} \end{aligned} \quad (7)$$

$$\delta\omega \approx \frac{\left(4t^2 + \frac{\xi}{m}\right) p_{\max}^2}{|\xi|} \exp \left\{ -\frac{p_{\max}^2}{4m|\xi|} - \frac{2\pi}{|\xi|\Delta E \left(4t^2 + \frac{\xi}{m}\right)} \right\} \quad (8)$$



**Рис.:** Квадрат амплитуды волновой функции краевого состояния, огибающего препятствия. Размер решётки —  $20 \times 20$ , по горизонтальной оси наложены периодические граничные условия.



Рис.: Волновая функция  
краевого состояния с  
беспорядком. Параметры  
модели:  
 $\xi, m, t = -0.2, 1, 0.4$ , сила  
беспорядка — 0.5.

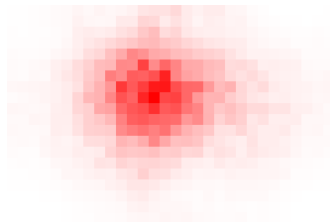
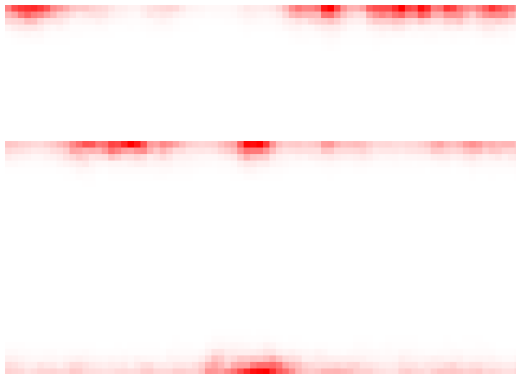


Рис.: Волновая функция  
объемного состояния с  
беспорядком для тех же  
параметров.



**Рис.:** Волновые функции краевых состояний с магнитным беспорядком для тех же параметров.

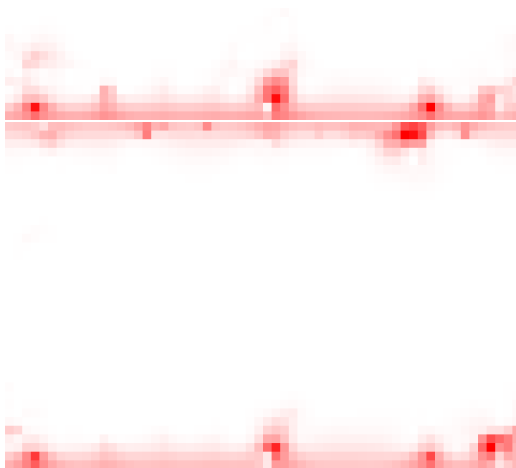


Рис.: Волновые функции краевых состояний с примесями внутри щели